

Iminiumkohlensäurederivat-Salze, 7. Mitt.<sup>1)</sup>, Teil I:

# Elektrophile Reaktionen von 2-Methylthio-5,6-dihydro-4H-1,3-thiaziniumiodiden, 2-Methylthio-4,5-dihydrothiazoliumiodiden und 2-Methylthio-5-methylthiazoliumiodiden mit N-Nucleophilen

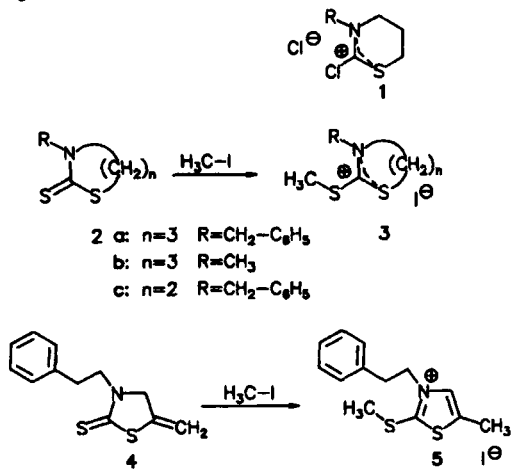
Wolfgang Hanefeld\*, Helge Harms und Martin Schlitzer

Institut für Pharmazeutische Chemie der Philipps-Universität Marburg, Marbacher Weg 6, 35032 Marburg

Eingegangen am 23. November 1994

Cyclische Salze des Dithiokohlensäure-diester-imidum Typs (3, 5) wurden mit NH<sub>2</sub>-Nucleophilen zu den cyclischen Isothioharnstoffen 6-8 umgesetzt. Einige dieser Verbindungen konnten zu cyclischen Isothioharnstoff-S,S-dioxiden (9, 10) oxidiert werden.

In früheren Mitt. haben wir über die Möglichkeit berichtet, Chloriminiumsalze des 1,3-Thiazintyps 1 mit NH<sub>2</sub>-Nucleophilen zu Imino-1,3-thiazinanen zu kondensieren<sup>2)</sup>. Hier wird über die Darstellung ähnlicher Verbindungen berichtet, wobei von den aus den cyclischen Dithiourethanen 2 bzw. 4 mittels Methyliodid hergestellten Dithiokohlensäure-diester-imidumiodiden 3,5 ausgegangen wurde.



Schema 1

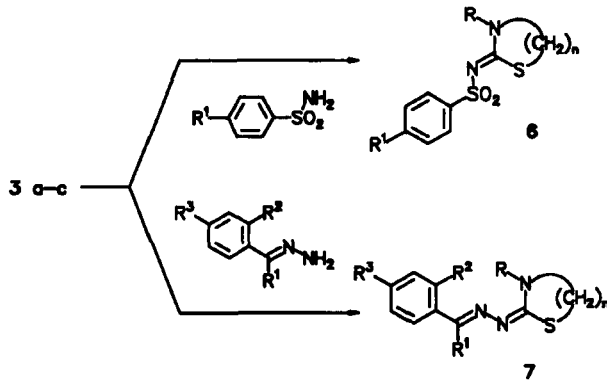
Diese zeichnen sich gegenüber den Chloriminiumchloriden durch eine deutlich geringere Hydrolyseempfindlichkeit aus, was eine mehrtägige Aufbewahrung bei 5 °C ermöglicht. Ähnlich wie die Chloriminiumsalze (1) sind die Verbindungen 3,5 unlöslich in Kohlenwasserstoffen und Diethylether, löslich hingegen in Methylenchlorid. Sie reagieren mit H<sub>2</sub>O<sub>2</sub> unter I<sub>2</sub>-Freisetzung und mit AgNO<sub>3</sub> unter AgI-Abscheidung, was auf die ionische Struktur dieser Verbindungen hinweist.

Die Umsetzung von 3a mit einem 10-fachen Überschuß an Benzylamin ohne Lösungsmittel führte nicht zu dem erwarteten 2-Benzyliminothiazin, sondern unter Spaltung des Thiazinringes zu Trisbenzylguanidiniumiodid. Während Chloriminiumverbindungen des Typs 1 mit prim. Sulfonamiden nur in geringen Ausb. und mit Hydrazonen überhaupt nicht reagieren<sup>2)</sup>, liefern die Salze 3 mit beiden

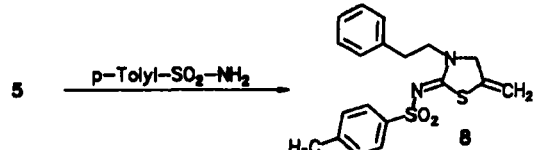
Iminium Carbonic Acid Derivative Salts VII, Part I:  
Electrophilic Reactions of 2-Methylthio-5,6-dihydro-4H-1,3-thiazinium Iodides, 2-Methylthio-4,5-dihydrothiazolium Iodides, and 2-Methylthio-5-methylthiazolium Iodides with N-Nucleophiles

Cyclic salts of the dithiocarbonic acid diester imidum type (3, 5) react with NH<sub>2</sub>-nucleophiles to the cyclic isothioureas 6-8. Some of these compounds were oxidized to cyclic isothiourea-S,S-dioxides (9, 10).

N-Nucleophilen die entspr. cyclischen Isothioharnstoff-de-rivaten 6 und 7. Hierbei ist jedoch die Suspendierung von Pb(NO<sub>3</sub>)<sub>2</sub> im Reaktionsansatz zur Erzielung befriedigender Ausb. unumgänglich. In einigen Fällen wurde ohne Pb<sup>2+</sup>-Zusatz überhaupt keine Reaktion beobachtet. Demgegenüber setzte sich das quasiaromatische Thiazolium-iodid 5 mit Toluolsulfonamid auch ohne Pb<sup>2+</sup>-Zusatz zu 8 um.

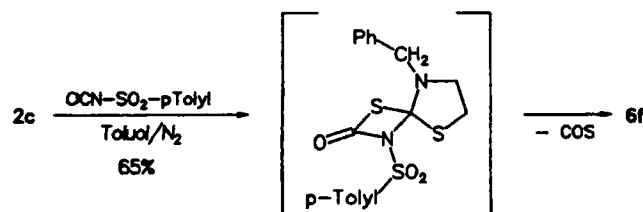


6	R	R <sup>1</sup>	7	R	R <sup>1</sup>	R <sup>2</sup>	R <sup>3</sup>
a	n = 3	C <sub>6</sub> H <sub>5</sub> -CH <sub>2</sub>	H	a	n = 3	C <sub>6</sub> H <sub>5</sub> -CH <sub>2</sub>	C <sub>6</sub> H <sub>5</sub>
b	n = 3	C <sub>6</sub> H <sub>5</sub> -CH <sub>2</sub>	Cl	b	n = 3	C <sub>6</sub> H <sub>5</sub> -CH <sub>2</sub>	OH
c	n = 3	CH <sub>3</sub>	H	c	n = 3	C <sub>6</sub> H <sub>5</sub> -CH <sub>2</sub>	H
d	n = 3	CH <sub>3</sub>	Cl	d	n = 3	CH <sub>3</sub>	OH
e	n = 2	C <sub>6</sub> H <sub>5</sub> -CH <sub>2</sub>	Cl	e	n = 3	CH <sub>3</sub>	H
f	n = 2	C <sub>6</sub> H <sub>5</sub> -CH <sub>2</sub>	CH <sub>3</sub>	f	n = 2	C <sub>6</sub> H <sub>5</sub> -CH <sub>2</sub>	C <sub>6</sub> H <sub>5</sub>
g	n = 2	C <sub>6</sub> H <sub>5</sub> -CH <sub>2</sub>	H	g	n = 2	C <sub>6</sub> H <sub>5</sub> -CH <sub>2</sub>	OH



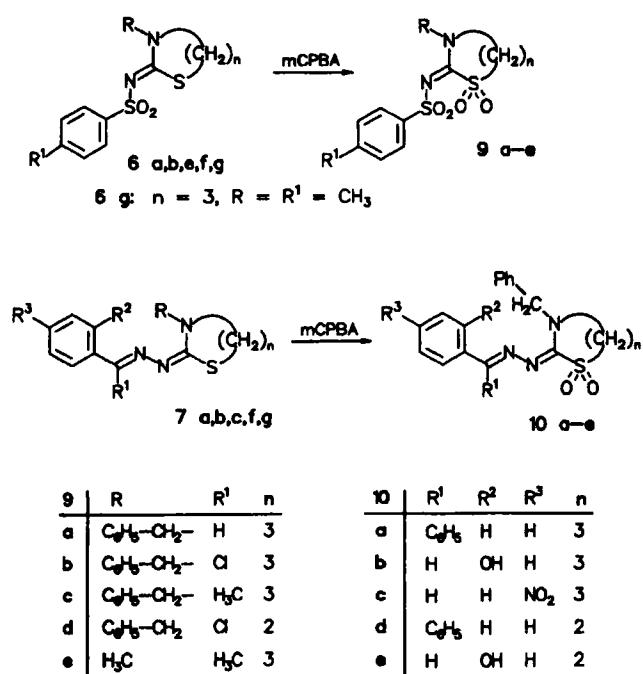
Scheme 2

Am Ringstickstoff unsubstituierte Analoga zu den Verbindungen des Typs **6** sind aus den entspr. cyclischen Dithiocarbamaten mittels Sulfonylisocyanaten hergestellt worden<sup>3)</sup>. Am Beispiel der Verbindung **6f** wurde gezeigt, daß eine solche [2+2]-Cycloaddition mit anschließender Cycloreversion auch mit *N*-substituierten cyclischen Dithiocarbamaten möglich ist. Diese Methode zur Darstellung von **6** zeichnet sich durch die Vermeidung des cancerogenen Methyliodids aus.



Schema 3

Einige der synthetisierten Verbindungen **6** und **7** ließen sich mit *m*-Chlorperbenzoësäure (mCPBA) am Ringschwefel oxidieren. Auch unter den schonendsten Reaktionsbedingungen war es nicht möglich, die *S*-Monoxide zu isolieren. Es wurden ausschließlich die *S,S*-Dioxide **9** und **10** erhalten. Offenbar wird die *S*-Oxid-Zwischenstufe rascher zum *S,S*-Dioxid weiteroxidiert, als der Sulfanschwefel zum *S*-Oxid.



Schema 4

Dem Fonds der Chemischen Industrie danken wir für die Unterstützung dieser Arbeit.

## Experimenteller Teil

Geräte: Lit.<sup>4)</sup>; Darstellung der Thiazinane und Thiazolidine: **2** nach<sup>5,6</sup>, **4**<sup>7)</sup>

### Allgemeine Vorschrift zur Darstellung der Salze **3** und **5**

10 mmol des jeweiligen Thiazin- bzw. Thiazolidin-Derivates **2,4** werden mit 10 ml Methyliodid **5** h bei Raumtemp. gerührt. Durch Zugabe von ca. 20 ml absol. Et<sub>2</sub>O kristallisieren **3** und **5** aus. Nach 10 min Kühlung des Reaktionsgefäßes wird das Filtrat in eine Vorlage mit ges. wäßrig-methanolischer Na<sub>2</sub>S<sub>2</sub>O<sub>3</sub>-Lsg. gesaugt. Die abgetrennten Kristalle werden noch mehrmals mit absol. Et<sub>2</sub>O gewaschen und nach kurzem Trocknen weiter verwendet.

### Allgemeine Vorschrift zur Umsetzung von **3** und **5** mit Sulfonamiden und Hydrazonen

Äquimol. Mengen des jeweiligen Salzes **3,5** und der NH<sub>2</sub>-Komponente werden mit der doppelt molaren Menge NEt<sub>3</sub> in CH<sub>2</sub>Cl<sub>2</sub> bzw. CH<sub>2</sub>Cl<sub>2</sub>/C<sub>2</sub>H<sub>5</sub>OH gelöst. Nach Zugabe der 1.5 fach molaren Menge Pb(NO<sub>3</sub>)<sub>2</sub> wird unter heftigem Rühren zum Rückfluß erhitzt. Nach dem Abkühlen wird vom Niederschlag abfiltriert und die Mutterlauge i. Vak. eingeengt. Das Öl wird durch EtOH zur Kristallisation gebracht.

### *N*-(3-Benzyl-tetrahydro-2*H*-1,3-thiazin-2-yliden)-benzolsulfonamid (**6a**)

Aus 3.65 g (10 mmol) **3a**, 1.5 g (10 mmol) Benzolsulfonamid, 2.0 g (20 mmol) NEt<sub>3</sub>, 5.0 g (15 mmol) Pb(NO<sub>3</sub>)<sub>2</sub> in 100 ml CH<sub>2</sub>Cl<sub>2</sub> / 50 ml EtOH, 4 h Rückfluß. Weiße Nadeln. – IR (KBr):  $\tilde{\nu}$  = 1530; 1350; 1320 cm<sup>-1</sup>. – <sup>1</sup>H-NMR (CDCl<sub>3</sub>):  $\delta$  (ppm) = 7.93–7.89, 7.51–7.40, 7.29–7.26, 7.21–7.17 (4m, 10 H aromat.), 4.81 (s, 2H, CH<sub>2</sub>-C<sub>6</sub>H<sub>5</sub>), 3.41–3.39 (t, J = 6 Hz, 2H, 4-H), 3.00–2.97 (t, J = 6 Hz, 2H, 6-H), 2.11–2.06 (m, 2H, 5-H). – <sup>13</sup>C-NMR (CDCl<sub>3</sub>):  $\delta$  (ppm) = 162.39 (C-2), 143.11–126.72 (C-aromat.), 55.72 (CH<sub>2</sub>-C<sub>6</sub>H<sub>5</sub>), 48.25 (C-4), 27.89 (C-6), 22.72 (C-5). – MS (70 eV): m/z (%) = 207 (16), 206 (42).

### *N*-(3-Benzyl-tetrahydro-2*H*-1,3-thiazin-2-yliden)-4-chlorbenzolsulfonamid (**6b**)

Aus 3.65 g (10 mmol) **3a**, 1.92 g (10 mmol) Chlorbenzolsulfonamid, 2.0 g (20 mmol) NEt<sub>3</sub>, 5.0 g (15 mmol) Pb (NO<sub>3</sub>)<sub>2</sub>, 100 ml CH<sub>2</sub>Cl<sub>2</sub> / 50 ml EtOH, 4 h Rückfluß. Farblose Kristalle. – IR (KBr):  $\tilde{\nu}$  = 1530; 1360; 1330 cm<sup>-1</sup>. – <sup>1</sup>H-NMR (CDCl<sub>3</sub>):  $\delta$  (ppm) = 7.83–7.79, 7.40–7.37, 7.31–7.28, 7.20–7.16 (4m, 9 H aromat.), 4.81 (s, 2H, CH<sub>2</sub>-C<sub>6</sub>H<sub>5</sub>), 3.44–3.41 (t, J = 6 Hz, 2H, 4-H), 3.03–3.00 (t, J = 6 Hz, 2H, 6-H), 2.14–2.08 (m, 2H, 5-H). – <sup>13</sup>C-NMR (CDCl<sub>3</sub>):  $\delta$  (ppm) = 162.53 (C-2), 141.56–127.88 (C-aromat.), 55.83 (CH<sub>2</sub>-C<sub>6</sub>H<sub>5</sub>), 48.38 (C-4), 27.9 (C-6), 22.63 (C-5). – MS (70 eV): m/z (%) = 207 (24), 206 (62).

### *N*-(3-Methyl-tetrahydro-2*H*-1,3-thiazin-2-yliden)-benzolsulfonamid (**6c**)

Aus 1.45 g (5 mmol) **3b**, 0.79 g (5 mmol) Benzolsulfonamid, 1.0 g (10 mmol) NEt<sub>3</sub>, 2.5 g (7.5 mmol) Pb (NO<sub>3</sub>)<sub>2</sub>, 50 ml CH<sub>2</sub>Cl<sub>2</sub>, 2.5 h Rückfluß. Weiße Kristalle. – IR (KBr):  $\tilde{\nu}$  = 1550; 1360; 1345 cm<sup>-1</sup>. – <sup>1</sup>H-NMR (CDCl<sub>3</sub>):  $\delta$  (ppm) = 7.95–7.93, 7.49–7.42 (2m, 5 H aromat.), 3.48–3.45 (t, J = 6 Hz, 2H, 4-H), 3.17 (s, 3H, CH<sub>3</sub>), 2.99–2.95 (t, J = 6 Hz, 2H, 6-H), 2.20–2.14 (m, 2H, 5-H). – <sup>13</sup>C-NMR (CDCl<sub>3</sub>):  $\delta$  (ppm) = 162.13 (C-2), 143.28–126.72 (C-aromat.), 50.74 (C-4), 41.18 (CH<sub>3</sub>), 27.62 (C-6), 22.75 (C-5). – MS (70 eV): m/z (%) = 141 (13), 131 (10).

### *N*-(3-Methyl-tetrahydro-2*H*-1,3-thiazin-2-yliden)-4-chlorbenzolsulfonamid (**6d**)

Aus 1.45 g (5 mmol) **3b**, 0.96 g (5 mmol) 4-Chlorbenzolsulfonamid, 1.0 g NEt<sub>3</sub>, 2.5 g (7.5 mmol) Pb (NO<sub>3</sub>)<sub>2</sub>, 50 ml CH<sub>2</sub>Cl<sub>2</sub>, 2.5 h Rückfluß. Gelblich-weiße Kristalle. – IR (KBr):  $\tilde{\nu}$  = 1540; 1380 cm<sup>-1</sup>. – <sup>1</sup>H-NMR (CDCl<sub>3</sub>):  $\delta$  (ppm) = 7.90–7.87 (m, J = 9 Hz, 2H, C<sub>6</sub>H<sub>4</sub>), 7.43–7.41 (m, J = 9 Hz, 2H, C<sub>6</sub>H<sub>4</sub>), 3.50–3.47 (t, J = 6 Hz, 2H, 4-H), 3.18 (s, 3H, CH<sub>3</sub>), 3.03–2.99 (t, J = 6 Hz, 2H, 6-H), 2.27–2.17 (m, 2H, 5-H). – <sup>13</sup>C-NMR (CDCl<sub>3</sub>):  $\delta$  (ppm) = 162.23 (C-2), 141.77–128.36 (C-aromat.), 50.77 (C-4), 41.25 (CH<sub>3</sub>), 27.62 (C-6), 22.71 (C-5). – MS (70 eV): m/z (%) = 177 (10), 175 (17).

Tab. 1: Umsetzung von 3a-c und 5 mit Sulfonamiden zu 6 und 8

Produkt	NH <sub>2</sub> -Komponente	Reaktionszeit/ Temp.	Ausb. % d. Th.	Schm. °C Umkrist.	Summenformel Molmasse aus	Ber. C Gef.	H	N	S	Cl
<b>6</b>										
a	Benzolsulfonamid	4 h 40 °C	60	112 EtOH	C <sub>17</sub> H <sub>18</sub> N <sub>2</sub> O <sub>2</sub> S <sub>2</sub> 346.5	58.9 58.8	5.24 5.24	8.1 8.1	18.5 18.5	
b	4-Chlorbenzol- sulfonamid	4 h 40 °C	68	154 EtOH	C <sub>17</sub> H <sub>17</sub> ClN <sub>2</sub> O <sub>2</sub> S <sub>2</sub> 380.9	53.6 53.9	4.50 4.48	7.4 7.3	16.8 16.7	9.3 9.2
c	Benzolsulfonamid	2.5 h 40 °C	67	132 EtOH	C <sub>11</sub> H <sub>14</sub> N <sub>2</sub> O <sub>2</sub> S <sub>2</sub> 270.4	48.9 48.8	5.22 4.93	10.4 10.3	23.7 23.9	
d	4-Chlorbenzol- sulfonamid	2.5 h 40 °C	79	166 EtOH	C <sub>11</sub> H <sub>13</sub> ClN <sub>2</sub> O <sub>2</sub> S <sub>2</sub> 304.8	43.3 43.4	4.30 4.35	9.2 9.1	21.0 20.9	11.6 11.6
e	4-Chlorbenzol- sulfonamid	2.5 h 40 °C	72	175 EtOH	C <sub>16</sub> H <sub>15</sub> ClN <sub>2</sub> O <sub>2</sub> S <sub>2</sub> 366.0	52.4 52.2	4.12 4.26	7.6 7.5	17.5 17.5	9.7 9.8
f	4-Toluol- sulfonamid	2.5 h 40 °C	69	171 EtOH	C <sub>17</sub> H <sub>18</sub> N <sub>2</sub> O <sub>2</sub> S <sub>2</sub> 340.5	58.9 58.9	5.24 5.15	8.1 8.1	18.5 18.2	
g	4-Toluol- sulfonamid	2.5 h 40 °C	33	142 EtOH	C <sub>19</sub> H <sub>20</sub> N <sub>2</sub> O <sub>2</sub> S <sub>2</sub> 372.5	61.2 61.2	5.41 5.28	7.5 7.5	17.2 17.1	

Tab. 2: Umsetzung von 3a-c mit Hydrazonen zu 7

Produkt	NH <sub>2</sub> -Komponente	Reaktionszeit/ Temp.	Ausb. % d. Th.	Schm. °C Umkrist.	Summenformel Molmasse aus	Ber. C Gef.	H	N	S
<b>7</b>									
a	Benzophenon- hydrazone	2.5 h 40 °C	44	112 EtOH	C <sub>24</sub> H <sub>23</sub> N <sub>3</sub> S 385.5	74.8 74.7	6.01 5.94	10.9 10.9	8.3 8.0
b	Salicylaldehyd- hydrazone	4 h 40 °C	52	117 EtOH	C <sub>18</sub> H <sub>19</sub> N <sub>3</sub> OS 325.4	66.4 66.4	5.88 5.85	12.9 13.0	9.9 9.6
c	4-Nitrobenzaldehyd- hydrazone	2.5 h 40 °C	65	164 EtOH	C <sub>18</sub> H <sub>18</sub> N <sub>4</sub> O <sub>2</sub> S 354.4	61.0 60.6	5.12 5.08	15.8 15.8	9.1 8.9
d	Salicylaldehyd- hydrazone	4.5 h 40 °C	27	134 EtOH	C <sub>12</sub> H <sub>15</sub> N <sub>3</sub> OS 249.3	57.8 58.0	6.06 5.84	16.9 16.6	12.9 12.6
e	4-Nitrobenzaldehyd- hydrazone	4.5 h 40 °C	53	193 EtOH	C <sub>12</sub> H <sub>14</sub> N <sub>4</sub> O <sub>2</sub> S 278.3	51.8 51.7	5.07 5.06	20.1 19.6	11.5 11.5
f	Benzophenon- hydrazone	2 h 40 °C	44	112 EtOH	C <sub>23</sub> H <sub>21</sub> N <sub>3</sub> S 371.5	74.4 74.1	5.70 5.66	11.3 11.4	8.6 8.6
g	Salicylaldehyd- hydrazone	3 h 40 °C	52	93 EtOH	C <sub>17</sub> H <sub>17</sub> N <sub>3</sub> OS 311.4	65.6 65.6	5.50 5.46	13.5 13.5	10.3 10.3

**N-(3-Benzyl-thiazolidin-2-yliden)-4-chlorbenzolsulfonamid (6e)**

Aus 1.76 g (5 mmol) 3c, 0.96 g (5 mmol) 4-Chlorbenzolsulfonamid, 1.0 g (10 mmol) NEt<sub>3</sub>, 2.5 g (7.5 mmol) Pb(NO<sub>3</sub>)<sub>2</sub>, 50 ml CH<sub>2</sub>Cl<sub>2</sub>, 2.5 h Rückfluß. Weiße Nadeln.– IR (KBr):  $\bar{\nu}$  = 1540; 1360; 1310 cm<sup>-1</sup>. – <sup>13</sup>C-NMR (CDCl<sub>3</sub>): δ (ppm) = 168.97 (C-2), 140.85–128.18 (C-aromat.), 50.92 (CH<sub>2</sub>-C<sub>6</sub>H<sub>5</sub>), 50.11 (C-4), 26.99 (C-5).

**N-(3-Benzyl-thiazolidin-2-yliden)-4-toluolsulfonamid (6f)**

A) Nach allgem. Vorschrift aus 1.76 g (5 mmol) 3c, 0.85 g (5 mmol) 4-Toluolsulfonamid, 1.0 g (10 mmol) NEt<sub>3</sub>, 2.5 g (7.5 mmol) Pb(NO<sub>3</sub>)<sub>2</sub>, 50 ml CH<sub>2</sub>Cl<sub>2</sub>/20 ml EtOH, 2.5 h Rückfluß.

B) 0.44 g (2 mmol) 3-Benzyl-thiazolidin-2-thion (2c) und 0.38 ml (2.5 mmol) Toluolsulfonylisocyanat wurden in 25 ml absol. Toluol unter N<sub>2</sub>

Tab. 3: Umsetzungen von 6 zu den S,S-Dioxiden 9

Produkt	Imino-Komponente	Reaktionszeit/Temp.	Ausb. % d. Th.	Schm. °C Umkrist. aus	Summenformel Molmasse	Ber. Gef.	C	H	N	S	Cl
<b>9</b>											
<b>a</b>	<b>6a</b>	15 min. 20 °C, 5 min. 40 °C	33	184 Toluol/ Dichlor- methan	C <sub>17</sub> H <sub>18</sub> N <sub>2</sub> O <sub>4</sub> S <sub>2</sub> 378.5	54.0 53.8	4.79 4.74	7.4 7.5	17.0 17.0		
<b>b</b>	<b>6b</b>	15 min. 20 °C, 5 min. 40 °C	87	219 Dichlor- methan/ Isopropanol	C <sub>17</sub> H <sub>17</sub> ClN <sub>2</sub> O <sub>4</sub> S <sub>2</sub> 412.9	49.5 49.5	4.15 4.18	6.8 6.9	15.5 15.5	8.6 8.6	
<b>c</b>	<b>6e</b>	15 min. 20 °C, 5 min. 40 °C	92	219 Dichlor- methan/ Isopropanol	C <sub>16</sub> H <sub>15</sub> ClN <sub>2</sub> O <sub>4</sub> S <sub>2</sub> 398.9	48.2 48.2	3.79 3.82	7.0 6.8	16.1 15.8	8.9 9.1	
<b>d</b>	<b>6f</b>	15 min. 20 °C, 5 min. 40 °C	49	169 Ethanol	C <sub>17</sub> H <sub>18</sub> N <sub>2</sub> O <sub>4</sub> S <sub>2</sub> 378.4	54.0 53.8	4.79 4.80	7.4 7.7	17.0 16.9		
<b>e</b>	<b>6g</b>	15 min. 20 °C 5 min. 40 °C	54	220 Dichlor- methan/ Isopropanol	C <sub>12</sub> H <sub>16</sub> N <sub>2</sub> O <sub>4</sub> S <sub>2</sub> 316.4	52.4 52.2	4.12 4.26	7.6 7.5	17.5 17.5		

Tab. 4: Umsetzungen von 7 zu S,S-Dioxiden 10

Produkt	Imino-Komponente	Reaktionszeit/Temp.	Ausb. % d. Th.	Schm. °C Umkrist. aus	Summenformel Molmasse	Ber. Gef.	C	H	N	S	
<b>10</b>											
<b>a</b>	<b>7a</b>	15 min. 20 °C, 5 min. 40 °C	36	177 Petrolether/ Isopropanol	C <sub>24</sub> H <sub>23</sub> N <sub>3</sub> O <sub>2</sub> S 417.5	69.0 68.8	5.55 5.50	10.0 10.0	7.7 8.2		
<b>b</b>	<b>7b</b>	15 min. 20 °C, 5 min. 40 °C	33	155 Toluol/ EtOH	C <sub>18</sub> H <sub>19</sub> N <sub>3</sub> O <sub>3</sub> S 357.4	60.5 60.8	5.36 5.41	11.8 11.8	9.0 8.6		
<b>c</b>	<b>7c</b>	15 min. 20 °C, 5 min. 40 °C	35	192 Isopropanol/ Chloroform	C <sub>18</sub> H <sub>18</sub> N <sub>4</sub> O <sub>4</sub> S 386.4	56.0 55.8	4.69 4.78	14.5 14.5	8.3 8.3		
<b>d</b>	<b>7f</b>	15 min. 20 °C, 5 min. 40 °C	36	177 Petrolether/ Isopropanol	C <sub>23</sub> H <sub>21</sub> N <sub>3</sub> O <sub>2</sub> S 403.5	68.5 68.2	5.24 5.23	10.4 10.4	8.0 7.9		
<b>e</b>	<b>7g</b>	15 min. 20 °C 5 min. 40 °C	32	175 EtOH	C <sub>17</sub> H <sub>17</sub> N <sub>3</sub> O <sub>3</sub> S 343.4	59.5 59.2	4.99 4.92	12.2 12.4	9.3 9.6		

5 h zum Sieden erhitzt. Nach dem Abdestillieren des Lösungsmittels i. Vak. verblieb ein öliger Rückstand, der beim Verreiben mit wenig EtOH fest wurde. Weiße Kristalle, Ausb. 65%. – IR (KBr):  $\bar{\nu}$  = 1540; 1360; 1300  $\text{cm}^{-1}$ . – <sup>1</sup>H-NMR ( $\text{CDCl}_3$ ):  $\delta$  (ppm) = 7.84–7.81, 7.28–7.23, 7.17–7.14 (3m, 9H aromat.), 4.67 (s, 2H,  $\text{CH}_2\text{-C}_6\text{H}_5$ ), 3.60–3.57 ( $t$ ,  $J$  = 7 Hz, 2H, 4-H), 3.17–3.13 ( $t$ ,  $J$  = 7 Hz, 2H, 5-H), 2.41 (s, 3H,  $\text{CH}_3$ ). – <sup>13</sup>C-NMR ( $\text{CDCl}_3$ ):  $\delta$  (ppm) = 168.53 (C-2), 142.42–126.68 (C-aromat.), 50.74 ( $\text{CH}_2\text{-C}_6\text{H}_5$ ), 49.84 (C-4), 26.86 (C-5), 21.43 ( $\text{CH}_3$ ). – MS (70 eV): m/z (%) = 209 (5), 193 (13).

**3-Benzyl-2-(1,1-diphenylmethylenhydrazone)-tetrahydro-2H-1,3-thiazin (7a)**

Aus 3.65 g (10 mmol) **3a**, 1.96 g (10 mmol) Benzophenonhydrazon, 2.0 g (20 mmol) NEt<sub>3</sub>, 5.0 g (15 mmol) Pb(NO<sub>3</sub>)<sub>2</sub>, 100 ml CH<sub>2</sub>Cl<sub>2</sub>, 2.5 h Rückfluß. Gelblich-grüne Kristalle.– IR (KBr):  $\tilde{\nu}$  = 1560; 1540 cm<sup>-1</sup>.– <sup>1</sup>H-NMR (CDCl<sub>3</sub>):  $\delta$  (ppm) = 7.67–7.04 (m, 15H aromat.), 4.56 (s, 2H, CH<sub>2</sub>-C<sub>6</sub>H<sub>5</sub>), 3.29–3.26 (t, J = 6 Hz, 2H, 4-H), 2.90–2.87 (t, J = 6 Hz, 2H, 6-H), 2.10–2.04 (m, 2H, 5-H).– <sup>13</sup>C-NMR (CDCl<sub>3</sub>)  $\delta$  (ppm) = 161.32 (C-2), 156.89 (C-C<sub>6</sub>H<sub>5</sub>=N), 139.33–127.05 (C-aromat.), 55.52 (CH<sub>2</sub>-C<sub>6</sub>H<sub>5</sub>), 47.80 (C-4), 26.40 (C-6), 24.40 (C-5).– MS (70 eV): m/z (%) = 385 (27, M<sup>++</sup>).

**3-Benzyl-2-(2-hydroxyphenylmethylenhydrazone)-tetrahydro-2H-1,3-thiazin (7b)**

Aus 3.65 g (10 mmol) **3a**, 1.36 g (10 mmol) Salicylaldehydhydrazon, 2.0 g (10 mmol) NEt<sub>3</sub>, 5.0 g (15 mmol) Pb(NO<sub>3</sub>)<sub>2</sub>, 100 ml CH<sub>2</sub>Cl<sub>2</sub>, 4 h Rückfluß. Gelblich-weiße Kristalle.– IR (KBr):  $\tilde{\nu}$  = 1520 cm<sup>-1</sup>.– <sup>1</sup>H-NMR (CDCl<sub>3</sub>):  $\delta$  (ppm) = 11.73 (s, 1H, OH), 8.33 (s, 1H, CH=N), 7.36–7.18, 6.98–6.83 (2m, 9H aromat.), 4.89 (s, 2H, CH<sub>2</sub>-C<sub>6</sub>H<sub>5</sub>), 3.32–3.29 (t, J = 6 Hz, 2H, 4-H), 2.98–2.95 (t, J = 6 Hz, 2H, 6-H), 2.13–2.07 (m, 2H, 5-H).– <sup>13</sup>C-NMR (CDCl<sub>3</sub>):  $\delta$  (ppm) = 164.69 (CH=N), 160.92 (C-2), 158.53–116.46 (C-aromat.), 54.88 (CH<sub>2</sub>-C<sub>6</sub>H<sub>5</sub>), 47.50 (C-4), 26.57 (C-6), 24.05 (C-5). MS (70 eV): m/z (%) = 325 (77, M<sup>++</sup>).

**3-Benzyl-2-(4-nitrophenylmethylenhydrazone)-tetrahydro-2H-1,3-thiazin (7c)**

Aus 1.83 g (5 mmol) **3a**, 1.65 g (5 mmol) 4-Nitrobenzaldehydhydrazon, 2.0 g (20 mmol) NEt<sub>3</sub>, 5.0 g (15 mmol) Pb(NO<sub>3</sub>)<sub>2</sub>, 100 ml CH<sub>2</sub>Cl<sub>2</sub>, 2.5 h Rückfluß. Orange Kristalle.– IR (KBr):  $\tilde{\nu}$  = 1570 cm<sup>-1</sup>.– <sup>1</sup>H-NMR (CDCl<sub>3</sub>):  $\delta$  (ppm) = 8.23 (s, 1H, CH=N), 8.20–8.17, 7.83–7.80, 7.34–7.26, (3m, 9H aromat.), 4.94–4.93 (s, 2H, CH<sub>2</sub>-C<sub>6</sub>H<sub>5</sub>), 3.36–3.34 (m, J = 6 Hz, 2H, 4-H), 2.97–2.94 (m, J = 6 Hz, 2H, 6-H), 2.17–2.11 (m, 2H, 5-H).– <sup>13</sup>C-NMR (CDCl<sub>3</sub>):  $\delta$  (ppm) = 164.56 (C-2), 147.59, (CH=N), 147.52–123.82 (C-aromat.), 55.16 (CH<sub>2</sub>-C<sub>6</sub>H<sub>5</sub>), 47.63 (C-4), 26.49 (C-6), 24.03 (C-5).– MS (70 eV): m/z (%) = 354 (26, M<sup>++</sup>).

**3-Methyl-2-(2-hydroxyphenylmethylenhydrazone)-tetrahydro-2H-1,3-thiazin (7d)**

Aus 1.45 g (5 mmol) **3b**, 0.68 g (5 mmol) Salicylaldehydhydrazon, 1.0 g (10 mmol) NEt<sub>3</sub>, 2.5 g (7.5 mmol) Pb(NO<sub>3</sub>)<sub>2</sub>, 50 ml CH<sub>2</sub>Cl<sub>2</sub>, 4.5 h Rückfluß. Gelblich-weiße Kristalle.– IR (KBr):  $\tilde{\nu}$  = 1600 cm<sup>-1</sup>.– <sup>1</sup>H-NMR (CDCl<sub>3</sub>):  $\delta$  (ppm) = 11.67 (s, 1H, OH), 8.35 (s, 1H, CH=N), 7.21–7.19, 6.97–6.95 (2m, 4H aromat.), 3.38–3.35 (t, J = 6 Hz, 2H, 4-H), 3.17 (s, 3H, CH<sub>3</sub>), 2.96–2.93 (t, J = 6 Hz, 2H, 4-H), 2.18–2.12 (m, 2H, 5-H).– <sup>13</sup>C-NMR (CDCl<sub>3</sub>):  $\delta$  (ppm) = 164.67 (CH=N), 161.14 (C-2), 158.49–116.43 (C-aromat.), (C-2), 50.53 (C-4), 40.40 (CH<sub>3</sub>), 26.29 (C-6), 24.08 (C-5).– MS (70 eV): m/z (%) = 249 (100, M<sup>++</sup>).

**3-Methyl-2-(4-nitrophenylmethylenhydrazone)-tetrahydro-2H-1,3-thiazin (7e)**

Aus 1.45 g (5 mmol) **3b**, 0.83 g (5 mmol) 4-Nitrobenzaldehydhydrazon, 1.0 g (10 mmol) NEt<sub>3</sub>, 2.5 g (7.5 mmol) Pb(NO<sub>3</sub>)<sub>2</sub>, 100 ml CH<sub>2</sub>Cl<sub>2</sub>, 4.5 h Rückfluß. Orange Kristalle.– IR (KBr):  $\tilde{\nu}$  = 1580 cm<sup>-1</sup>.– <sup>1</sup>H-NMR (CDCl<sub>3</sub>):  $\delta$  (ppm) = 8.25 (CH=N), 8.21–817 (m, J = 9 Hz, 2H, C<sub>6</sub>H<sub>4</sub>), 7.33–7.79 (m, J = 9 Hz, 2H, C<sub>6</sub>H<sub>4</sub>), 3.47–3.42 (t, J = 6 Hz, 2H, 4-H), 3.24 (s, 3H, CH<sub>3</sub>), 2.96–2.93 (t, J = 6 Hz, 2H, 6-H), 2.24–2.18 (m, 2H, 5-H).– <sup>13</sup>C-NMR (CDCl<sub>3</sub>):  $\delta$  (ppm) = 164.65 (C-2), 147.46 (CH=N), 142.43–128.82 (C-aromat.), 50.46 (C-4), 40.66 (N-CH<sub>3</sub>), 26.21 (C-6), 24.07 (C-5).– MS (70 eV): m/z (%) = 278 (100, M<sup>++</sup>).

**3-Benzyl-2-(1,1-diphenylmethylenhydrazone)-thiazolidin (7f)**

Aus 1.76 g (5 mmol) **3c**, 0.98 g (5 mmol) Benzophenonhydrazon, 1.0 g (10 mmol) NEt<sub>3</sub>, 2.5 g (7.5 mmol) Pb(NO<sub>3</sub>)<sub>2</sub>, 50 ml CH<sub>2</sub>Cl<sub>2</sub>, 2 h Rückfluß. Gelblich-weiße Kristalle.– IR (KBr):  $\tilde{\nu}$  = 1590; 1560; 1540 cm<sup>-1</sup>.– <sup>1</sup>H-NMR (CDCl<sub>3</sub>):  $\delta$  (ppm) = 7.69–7.13 (m, 15H aromat.), 4.43 (s, 2H, CH<sub>2</sub>-C<sub>6</sub>H<sub>5</sub>), 3.50–3.47 (s, J = 7 Hz, 2H, 4-H), 3.07–3.03 (t, J = 7 Hz, 2H, 5-H).–

<sup>13</sup>C-NMR (CDCl<sub>3</sub>):  $\delta$  (ppm) = 168.98 (C-2), 158.37 (C-(C<sub>6</sub>H<sub>5</sub>)<sub>2</sub>=N), 139.00–127.40 (C-aromat.), 51.40 (CH<sub>2</sub>-C<sub>6</sub>H<sub>5</sub>), 50.72 (C-4), 26.44 (C-5).– MS (70 eV): m/z (%) = 371 (47, M<sup>++</sup>).

**3-Benzyl-2-(2-hydroxyphenylmethylenhydrazone)-thiazolidin (7g)**

Aus 1.76 g (5 mmol) **3c**, 0.68 g (5 mmol) Salicylaldehydhydrazon, 1.0 g (10 mmol) NEt<sub>3</sub>, 2.5 g (7.5 mmol) Pb(NO<sub>3</sub>)<sub>2</sub>, 50 ml CH<sub>2</sub>Cl<sub>2</sub>, 3 h Rückfluß. Weiße Kristalle.– IR (KBr):  $\tilde{\nu}$  = 1570; 1540 cm<sup>-1</sup>.– <sup>1</sup>H-NMR (CDCl<sub>3</sub>):  $\delta$  (ppm) = 11.52 (s, 1H, OH), 8.40 (s, 1H, CH=N), 7.36–7.20, 6.89–6.85 (2m, 9H aromat.), 4.69–4.65 (s, 2H, CH<sub>2</sub>-C<sub>6</sub>H<sub>5</sub>), 3.56–3.53 (t, J = 7 Hz, 2H, 4-H), 3.15–3.11 (t, J = 7 Hz, 2H, 5-H).– <sup>13</sup>C-NMR (CDCl<sub>3</sub>):  $\delta$  (ppm) = 168.38 (C-2), 154.90 (CH=N), 158.69–116.53 (C-aromat.), 51.66 (CH<sub>2</sub>-C<sub>6</sub>H<sub>5</sub>), 50.50 (C-4), 26.74 (C-5).– MS (70 eV): m/z (%) = 311 (91, M<sup>++</sup>).

**N-(5-Methylen-3-phenethyl-thiazolidin-2-yliden)-4-toluolsulfonamid (8)**

Aus 1.82 g (5 mmol) **5**, 0.85 g (5 mmol) p-Toluolsulfonamid, 1.0 g (10 mmol) NEt<sub>3</sub>, 2.5 g (7.5 mmol) Pb(NO<sub>3</sub>)<sub>2</sub>, 50 ml CH<sub>2</sub>Cl<sub>2</sub>, 2.5 h Rückfluß. Braune Kristalle.– IR (KBr):  $\tilde{\nu}$  = 1550; 1300 cm<sup>-1</sup>.– <sup>1</sup>H-NMR (CDCl<sub>3</sub>):  $\delta$  (ppm) = 7.83–7.80, 7.23–7.19, 7.07–7.05 (3m, 9H aromat.), 5.29–5.12 (m,m, 2H, =CH<sub>2</sub>), 4.08–4.07 (m, 2H, 4-H), 3.73–3.70 (t, J = 7 Hz, 2H, CH<sub>2</sub>-N), 2.87–2.83 (t, J = 7 Hz, 2H, CH<sub>2</sub>-C<sub>6</sub>H<sub>5</sub>), 2.40 (s, 3H, CH<sub>3</sub>).– <sup>13</sup>C-NMR (CDCl<sub>3</sub>):  $\delta$  (ppm) = 165.29 (C-2), 142.58–126.31 (C-aromat.), 106.70 (=CH<sub>2</sub>), 56.06 (C-4), 48.59 (CH<sub>2</sub>-N), 32.98 (CH<sub>2</sub>-C<sub>6</sub>H<sub>5</sub>), 21.43 (CH<sub>3</sub>).– MS (70 eV): m/z (%) = 372 (29, M<sup>++</sup>).

**Allgemeine Vorschrift zur Oxidation der Iminothiazin-Derivate 6,7 zu den S,S-Dioxiden 9 und 10**

Das jeweilige Iminothiazin 6,7 wird mit 2.2 Äquiv. m-CPBA in Aceton gelöst. Anschließend wird 15 min bei 20 °C und 5 min bei 40 °C gerührt. Der nach dem Abziehen des Lösungsmittels i. Vak. verbleibende Rückstand wird mit 3 × 20 ml trock. Et<sub>2</sub>O gewaschen und umkristallisiert.

**3-Benzyl-2-(phenylsulfonylimino)-tetrahydro-2H-1,3-thiazin-1,1-dioxid (9a)**

Aus 1.4 g (4 mmol) **6a**, 1.5 g (8.8 mmol) mCPBA, 25 ml Aceton. Weiße Kristalle.– IR (KBr):  $\tilde{\nu}$  = 1530; 1340 cm<sup>-1</sup>.– <sup>1</sup>H-NMR (CDCl<sub>3</sub>):  $\delta$  (ppm) = 7.95–7.93, 7.52–7.41, 7.27–7.21, 7.12–7.10 (4m, 10 H aromat.), 4.68 (s, CH<sub>2</sub>-C<sub>6</sub>H<sub>5</sub>), 3.67–3.60 (m, J = 6 Hz, 4H, 4-H, 6-H), 2.46–2.41 (m, 2H, 5-H).– <sup>13</sup>C-NMR (CDCl<sub>3</sub>):  $\delta$  (ppm) = 155.66 (C-2), 143.43–126.48 (C-aromat.), 56.24 (CH<sub>2</sub>-C<sub>6</sub>H<sub>5</sub>), 51.67 (C-6), 48.87 (C-4), 20.24(C-5).

**3-Benzyl-2-(4-chlorphenylsulfonylimino)-tetrahydro-2H-1,3-thiazin-1,1-dioxid (9b)**

0.62 g (1.6 mmol) **6b**, 0.62 g (3.6 mmol) mCPBA, 40 ml Aceton. Weiße Kristalle.– IR (KBr):  $\tilde{\nu}$  = 1580; 1340 cm<sup>-1</sup>.– <sup>1</sup>H-NMR (CDCl<sub>3</sub>):  $\delta$  (ppm) = 7.90–7.86, 7.42–7.38, 7.34–7.27, 7.14–7.12 (4m, 9H aromat.), 4.70 (s, 2H, CH<sub>2</sub>-C<sub>6</sub>H<sub>5</sub>), 3.63–3.60 (t, J = 6 Hz, 2H, 6-H), 3.58–3.55 (t, J = 6 Hz, 2H, 4-H), 2.49–2.41 (m, 2H, 5-H).– <sup>13</sup>C-NMR (CDCl<sub>3</sub>):  $\delta$  (ppm) = 155.70 (C-2), 141.68–128.12 (C-aromat.), 56.41 (CH<sub>2</sub>-C<sub>6</sub>H<sub>5</sub>), 51.71 (C-6), 48.83 (C-4), 20.23 (C-5).

**3-Benzyl-2-(4-tolylsulfonylimino)-thiazolidin-1,1-dioxid (9c)**

Aus 1.2 g (3.8 mmol) **6e**, 1.45 g (8.4 mmol) mCPBA, 40 ml Aceton. Weiße Kristalle.– IR (KBr):  $\nu$  = 1640; 1340; 1310 cm<sup>-1</sup>.– <sup>1</sup>H-NMR (CDCl<sub>3</sub>):  $\delta$  (ppm) = 7.95–7.93, 7.34–7.26, 7.19–7.17 (3m, 9H aromat.), 4.66 (s, 2H, CH<sub>2</sub>-C<sub>6</sub>H<sub>5</sub>), 3.78–3.75 (t, J = 7 Hz, 2H, 4-H), 3.47–3.44 (t, J = 7 Hz, 2H, 5-H), 2.43 (s, 3H, CH<sub>3</sub>).– <sup>13</sup>C-NMR (CDCl<sub>3</sub>):  $\delta$  (ppm) = 154.50 (C-2), 143.31–127.18 (C-aromat.), 53.34 (CH<sub>2</sub>-C<sub>6</sub>H<sub>5</sub>), 46.88 (C-5), 41.95 (C-4).

**3-Benzyl-2-(4-chlorphenylsulfonylimino)-thiazolidin-1,1-dioxid (9d)**

Aus 0.62 g (1.6 mmol) **6f**, 0.62 g (3.6 mmol) mCPBA, 40 ml Aceton. Weiße Kristalle.– IR (KBr):  $\nu$  = 1600; 1350; 1320 cm<sup>-1</sup>.– <sup>1</sup>H-NMR (CDCl<sub>3</sub>):  $\delta$  (ppm) = 8.02–7.97, 7.49–7.44, 7.37–7.26, 7.19–7.15 (4m, 9H aromat.), 4.68 (s, 2H, CH<sub>2</sub>-C<sub>6</sub>H<sub>5</sub>), 3.79–3.76 (t, J = 7 Hz, 2H, 4-H), 3.47–3.45 (t, J =

7 Hz, 2H, 5-H).—<sup>13</sup>C-NMR (CDCl<sub>3</sub>): δ (ppm) = 154.88 (C-2), 140.04–128.55 (C-aromat.), 53.42 (CH<sub>2</sub>-C<sub>6</sub>H<sub>5</sub>), 46.83 (C-4), 42.00 (C-5).

**3-Methyl-2-(4-tolylsulfonylimino)-tetrahydro-2H-1,3-thiazin-1,1-dioxid (9e)**

Aus 1.0 g (3.5 mmol) 6g,<sup>2)</sup> 1.34 g (7.8 mmol) mCPBA, 70 ml Aceton. Weiße Kristalle.—IR (KBr): ν̄ = 1620; 1300 cm<sup>-1</sup>.—<sup>1</sup>H-NMR (CDCl<sub>3</sub>): δ (ppm) = 7.89–7.87 (m, J = 8 Hz, 2H, C<sub>6</sub>H<sub>4</sub>), 7.27–7.25 (m, J = 8 Hz, 2H, C<sub>6</sub>H<sub>4</sub>), 3.67–3.64 (t, J = 6 Hz, 2H, 6-H), 3.55–3.52 (t, J = 6 Hz, 2H, 4-H), 3.25 (s, 3H, N-CH<sub>3</sub>), 2.56–2.48 (m, 2H, 5-H), 2.40 (s, 3H, CH<sub>3</sub>).—<sup>13</sup>C-NMR (CDCl<sub>3</sub>): δ (ppm) = 155.87 (C-2), 142.56–126.51 (C-aromat.), 51.82 (C-6), 50.98 (C-4), 41.86 (N-CH<sub>3</sub>), 21.49 (CH<sub>3</sub>), 20.14 (C-5).

**3-Benzyl-2-(1,1-diphenylmethylenhydrazono)-tetrahydro-2H-1,3-thiazin-1,1-dioxid (10a)**

Aus 0.3 g (1 mmol) 7a, 0.35 g (2 mmol) mCPBA, 30 ml Aceton. Grün-gelbe Kristalle.—IR (KBr): ν̄ = 1580; 1320 cm<sup>-1</sup>.—<sup>1</sup>H-NMR (CDCl<sub>3</sub>): δ (ppm) = 7.79–7.77, 7.50–7.20, 7.06–7.04 (3m, 15H aromat.), 4.40 (s, 2H, CH<sub>2</sub>-C<sub>6</sub>H<sub>5</sub>), 3.36–3.33 (t, J = 6 Hz, 2H, 6-H), 3.30–3.27 (t, J = 6 Hz, 2H, 4-H), 2.36–2.30 (m, 2H, 5-H).—<sup>13</sup>C-NMR (CDCl<sub>3</sub>): δ (ppm) = 163.04 (C-2), 156.26 (C=N), 137.92–127.68 (C-aromat.), 55.67 (CH<sub>2</sub>-C<sub>6</sub>H<sub>5</sub>), 53.44 (C-4), 47.70 (C-6), 20.02 (C-5).

**3-Benzyl-2-(2-hydroxyphenylmethylenhydrazono)-tetrahydro-2H-1,3-thiazin-1,1-dioxid (10b)**

Aus 0.4 g (1.2 mmol) 7b, 0.47 g (2.2 mmol) mCPBA, 20 ml Aceton. Weiße Kristalle.—IR (KBr): ν̄ = 1610; 1570; 1320 cm<sup>-1</sup>.—<sup>1</sup>H-NMR (CDCl<sub>3</sub>): δ (ppm) = 11.16 (s, 1H, OH), 8.35 (s, 1H, CH=N), 7.40–7.22, 7.01–6.99, 6.89–6.85 (3m, 9H aromat.), 4.76–4.75 (s, 2H, CH<sub>2</sub>-C<sub>6</sub>H<sub>5</sub>), 3.43–3.40 (t, J = 6Hz, 2H, 6-H), 3.36–3.33 (t, J = 6 Hz, 2H, 4-H), 2.41–2.35 (m, 2H, 5-H).—<sup>13</sup>C-NMR (CDCl<sub>3</sub>): δ (ppm) = 159.49 (CH=N), 159.09 (C-2), 156.95–117.20 (C-aromat.), 55.18 (CH<sub>2</sub>-C<sub>6</sub>H<sub>5</sub>), 53.33 (C-4), 47.64 (C-6), 20.16 (C-5).—MS (70 eV): m/z (%) = 357 (12, M<sup>+</sup>).

**3-Benzyl-2-(4-nitrophenylmethylenhydrazono)-tetrahydro-2H-1,3-thiazin-1,1-dioxid (10c)**

Aus 1.3 g (3.7 mmol) 7c, 1.4 g (7.4 mmol) mCPBA, 80 ml Aceton. Gelbe Kristalle.—IR (KBr): ν̄ = 1590; 1340; 1320 cm<sup>-1</sup>.—<sup>1</sup>H-NMR (CDCl<sub>3</sub>): δ (ppm) = 8.30 (s, 1H, CH=N), 8.25–8.22, 7.97–7.94, 7.39–7.33 (3m, 9H

aromat.), 4.80 (s, 2H, CH<sub>2</sub>-C<sub>6</sub>H<sub>5</sub>), 3.43–3.37 (t, t, J = 6 Hz, 2×2H, 4-H, 6-H), 2.43–2.37 (m, 2H, 5-H).—<sup>13</sup>C-NMR (CDCl<sub>3</sub>): 160.00 (C-2), 153.59 (CH=N), 148.51–123.94 (C-aromat.), 55.48 (CH<sub>2</sub>-C<sub>6</sub>H<sub>5</sub>), 53.71 (C-4), 47.90 (C-6), 20.15 (C-5).—MS (70 eV): m/z (%) = 386 (10, M<sup>++</sup>).

**3-Benzyl-2-(1,1-diphenylmethylenhydrazono)-thiazolidin-1,1-dioxid (10d)**

0.3 g (1 mmol) 7f, 0.35 g (2.2 mmol) mCPBA, 30 ml Aceton. Grün-gelbe Kristalle.—IR (KBr): ν̄ = 1630; 1330 cm<sup>-1</sup>.—<sup>1</sup>H-NMR (CDCl<sub>3</sub>): δ (ppm) = 7.75–7.73, 7.44–7.26, 7.13–7.11 (3m, 15H aromat.) 4.36 (s, 2H, CH<sub>2</sub>-C<sub>6</sub>H<sub>5</sub>), 3.60–3.57 (t, J = 7 Hz, 2H, 4-H), 3.35–3.31 (t, J = 7 Hz, 2H, 5-H).—<sup>13</sup>C-NMR (CDCl<sub>3</sub>): δ (ppm) = 164.42 (C-2), 155.30 (C=N), 138.97–128.62 (C-aromat.), 53.68 (CH<sub>2</sub>-C<sub>6</sub>H<sub>5</sub>), 48.36 (C-5), 42.79 (C-4).—MS (70 eV): m/z (%) = 403 (40, M<sup>++</sup>).

**3-Benzyl-2-(2-hydroxyphenylmethylenhydrazono)-thiazolidin-1,1-dioxid (10e)**

Aus 0.7 g (2.3 mmol) 7g, 0.85 g (5 mmol) mCPBA, 40 ml Aceton. Weiße Kristalle.—IR (KBr): ν̄ = 1630; 1340 cm<sup>-1</sup>.—<sup>1</sup>H-NMR (CDCl<sub>3</sub>): δ (ppm) = 10.91 (s, 1H, OH), 8.42 (s, 1H, CH=N), 7.44–7.24, 7.04–7.02, 6.91–6.87 (3m, 9H aromat.), 4.66 (s, 2H, CH<sub>2</sub>-C<sub>6</sub>H<sub>5</sub>), 3.64–3.60 (t, J = 7 Hz, 2H, 4-H), 3.41–3.37 (t, J = 7 Hz, 2H, 5-H).—<sup>13</sup>C-NMR (CDCl<sub>3</sub>): δ (ppm) = 159.85, 159.11 (C-2, CH=N), 154.36–117.13 (C-aromat.), 52.13 (CH<sub>2</sub>-C<sub>6</sub>H<sub>5</sub>), 46.90 (C-5), 41.49 (C-4).—MS (70 eV): m/z (%) = 343 (36, M<sup>++</sup>).

## Literatur

- 1 Als 6. Mitt. soll gelten: W. Hanefeld, H. Harms, M. Naeeni, *Eur. J. Pharmaceutical Sci.* **1994**, 2, 149.
- 2 W. Hanefeld, B. Bohro, *Arch. Pharm. (Weinheim)* **1988**, 321, 199–204.
- 3 M. Ichinari, Y. Hayase, *Heterocycles* **1989**, 29, 895–898.
- 4 W. Hanefeld, M. Schlitzer, H. Schütz, S. Wocadlo, W. Massa, *Liebigs Ann. Chem.* **1992**, 337–344.
- 5 W. Hanefeld, E. Bercin, *Liebigs Ann. Chem.* **1985**, 85, 58–64.
- 6 W. Hanefeld, *Arch. pharm. (Weinheim)* **1977**, 310, 409–417.
- 7 W. Hanefeld, M. Schlitzer, J. v. Grösseln, *Arch. Pharm. (Weinheim)* **1985**, 318, 185–188.

[Ph304]